

1/6

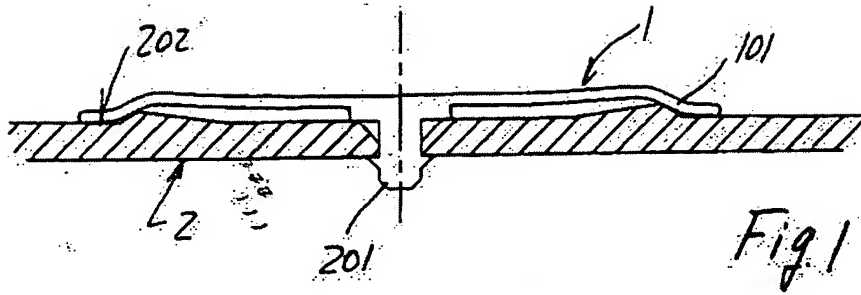


Fig. 1

STATE OF THE ART

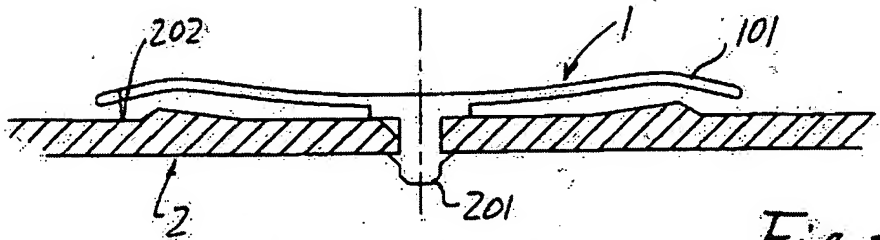


Fig. 2

STATE OF THE ART

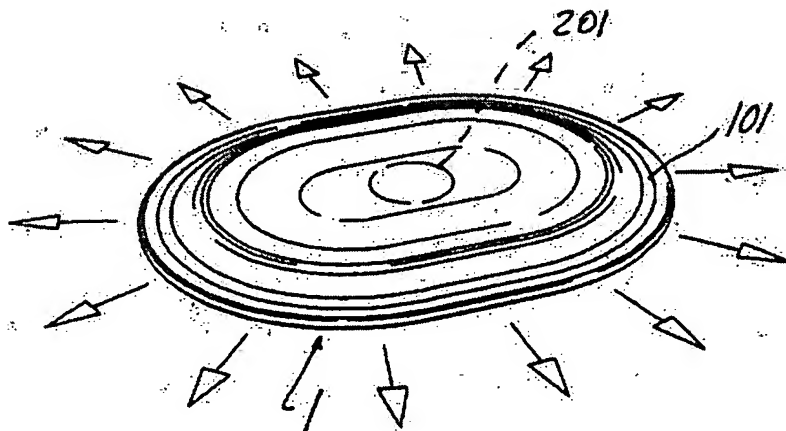
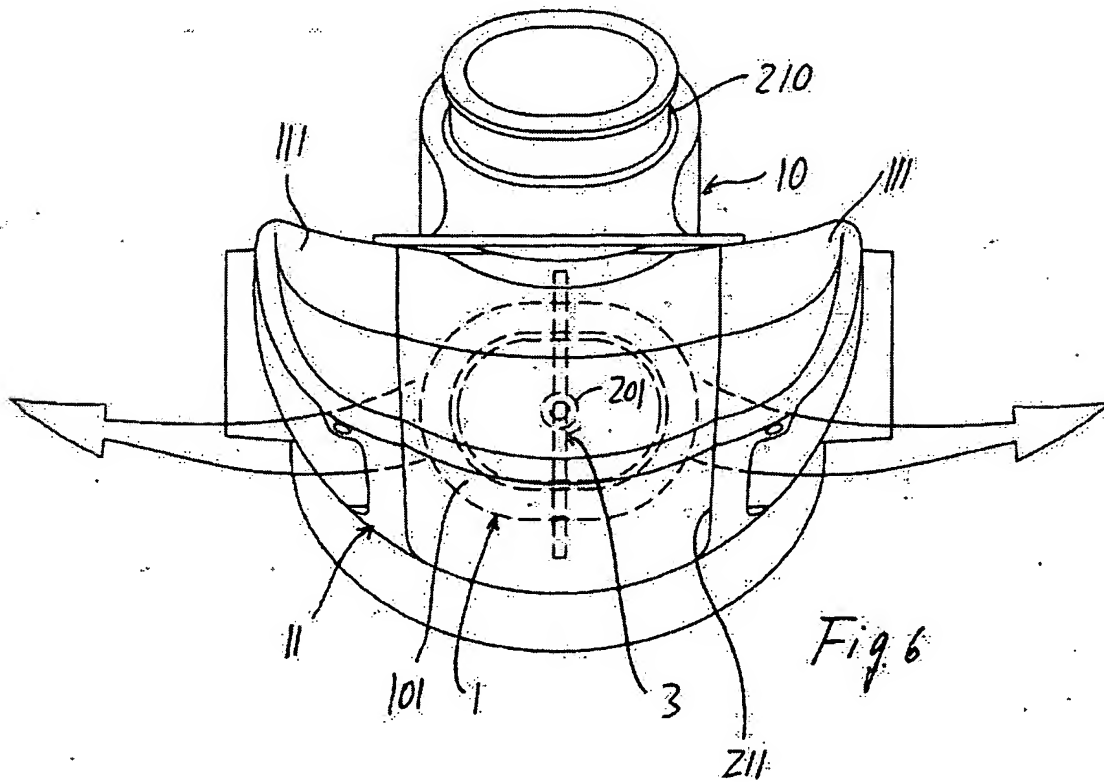
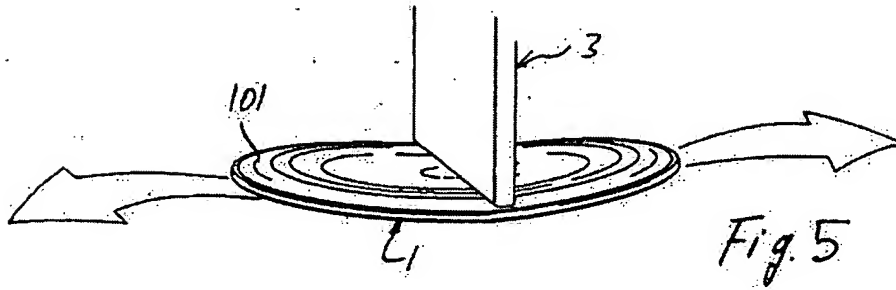
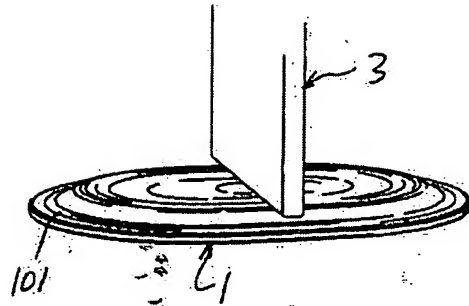
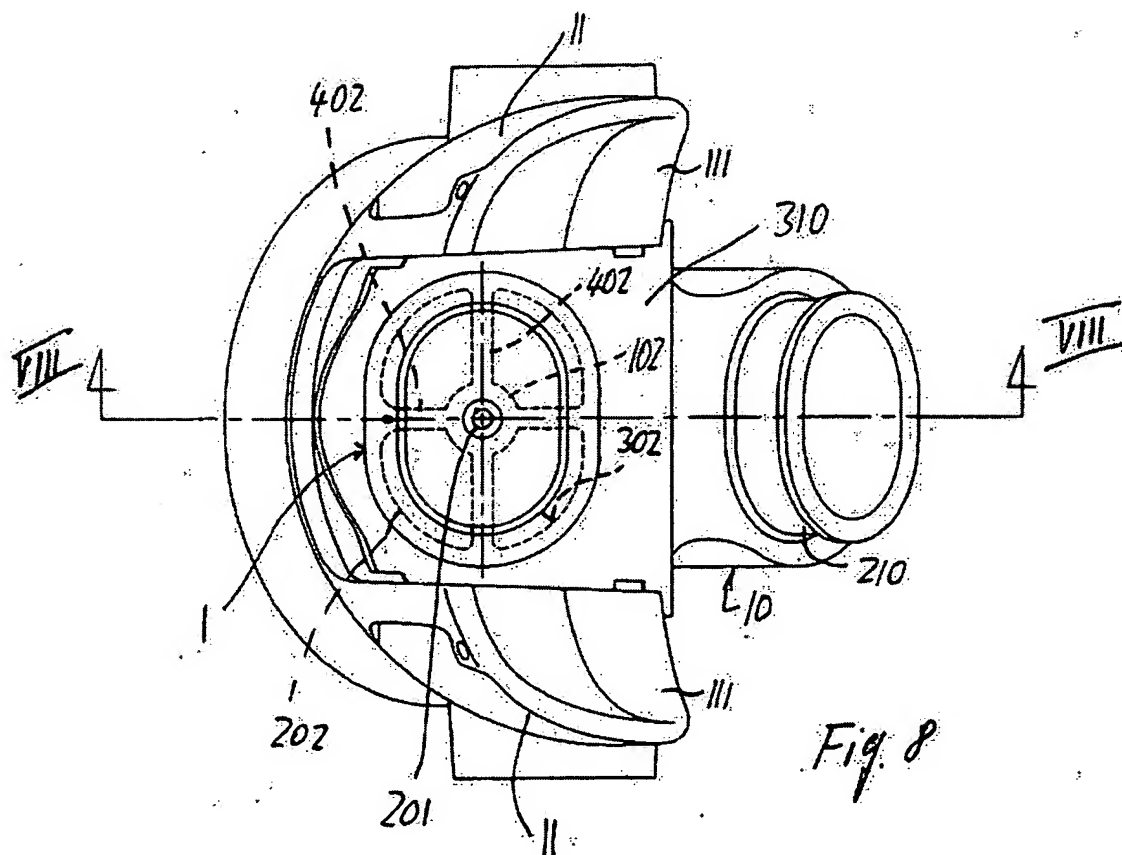
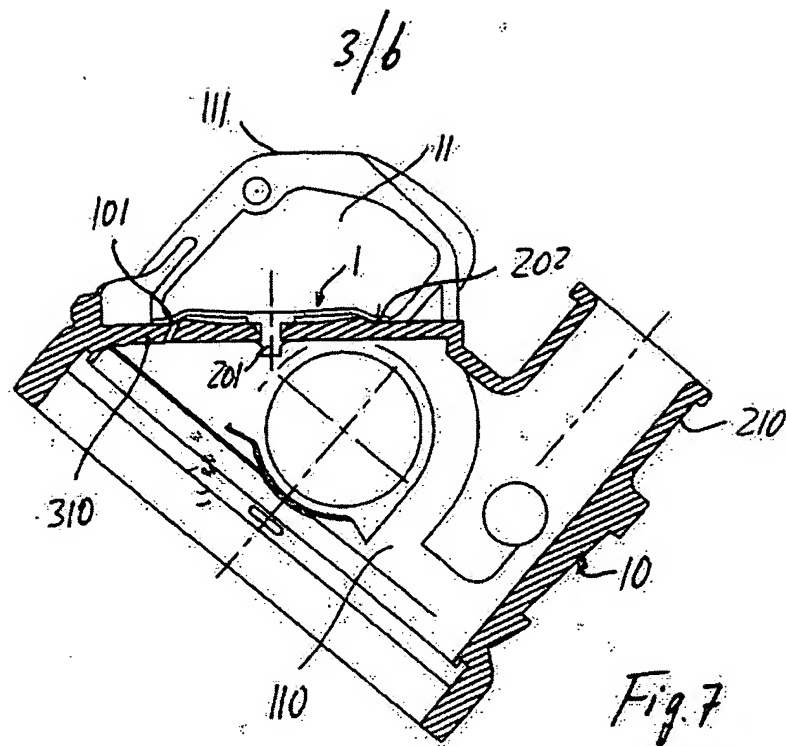


Fig. 3

2/6





4/6

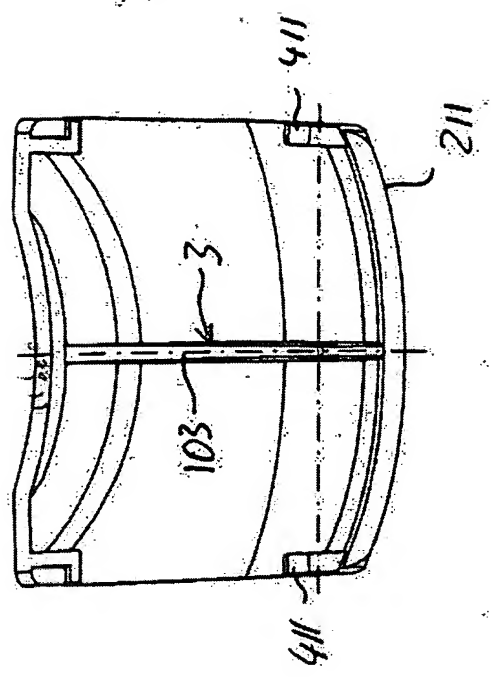


Fig. 11

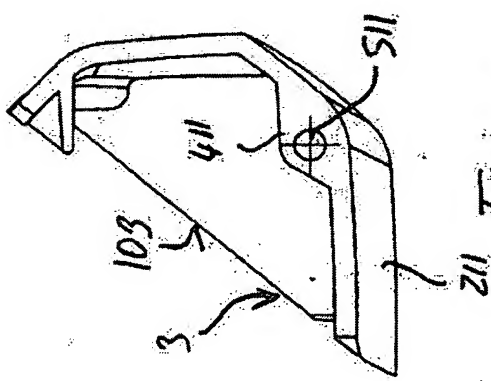


Fig. 10

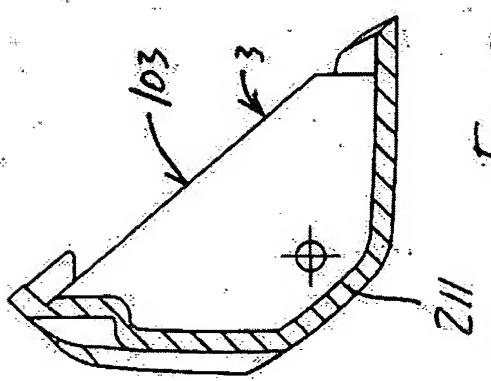


Fig. 9

5/6

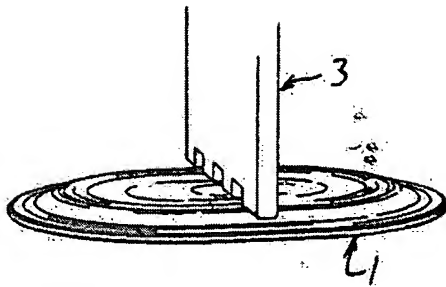


Fig. 12A

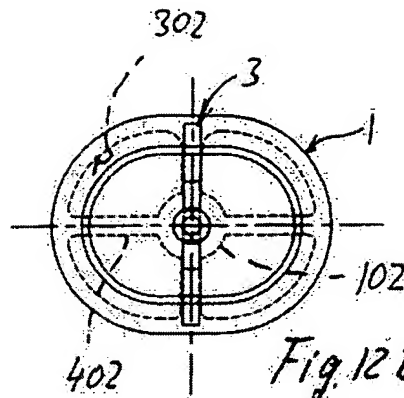


Fig. 12B

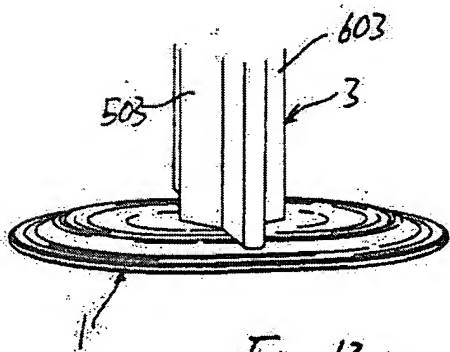


Fig. 13A

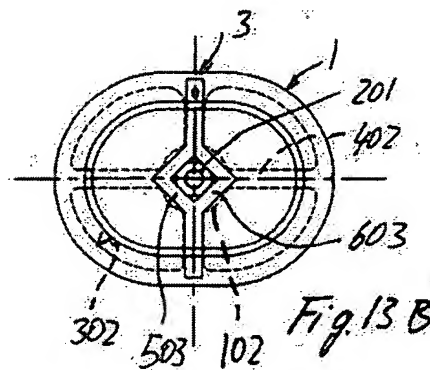


Fig. 13B

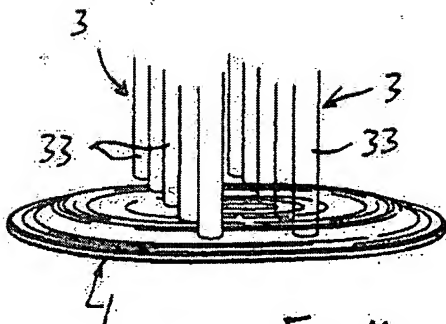


Fig. 14A

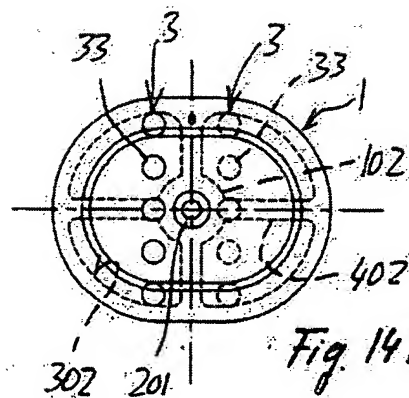


Fig. 14B

6/6

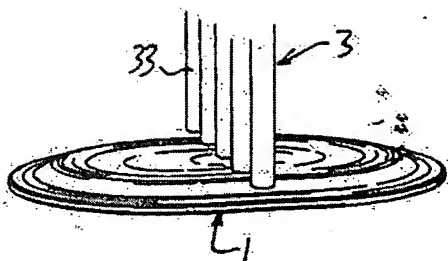


Fig. 15A

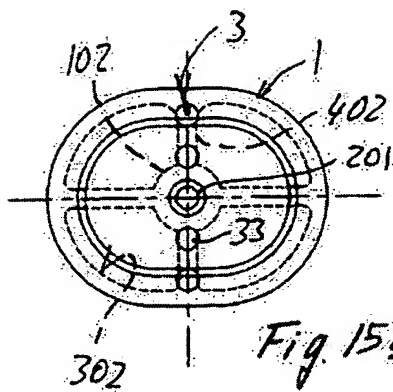


Fig. 15B

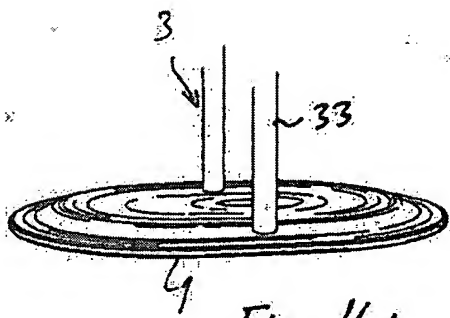


Fig. 16A

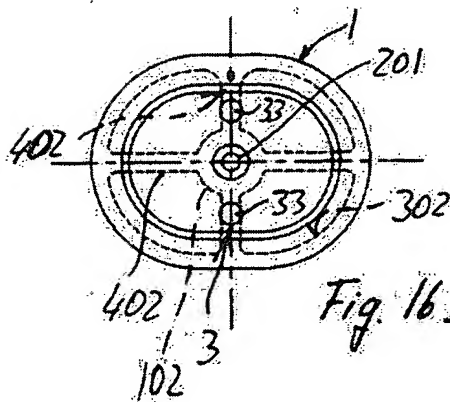


Fig. 16B

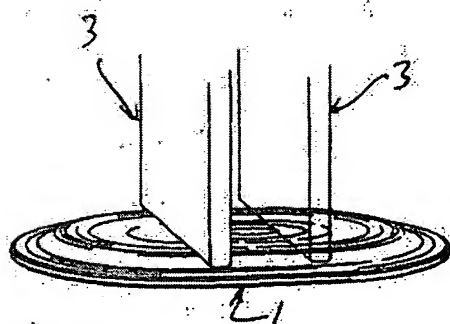


Fig. 17A

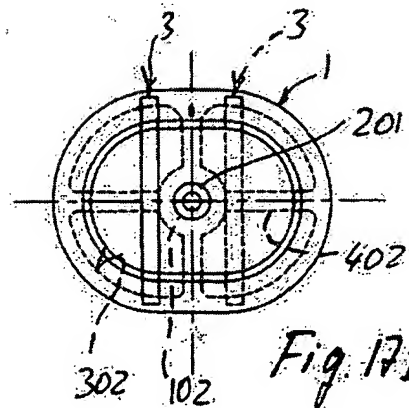


Fig. 17B